

溃结灵对 Caco-2 炎症细胞模型 $\text{I}\kappa\text{B}\alpha$ 基因和蛋白表达的作用

柴玉娜, 杜群, 李燕舞, 巫燕莉, 郭珍, 陈煦(广州中医药大学脾胃研究所, 广东 广州 510405)

摘要: 目的 观察溃结灵对白介素-1 β (IL-1 β)刺激的 Caco-2 炎症细胞模型核因子抑制蛋白- κ B($\text{I}\kappa\text{B}\alpha$)基因表达及蛋白表达的作用, 对其抗溃疡性结肠炎(UC)作用机制进行探讨。方法 将生长融合至 70%~80% 的 Caco-2 细胞分为 7 个组: 正常对照组、模型组、蛋白酶抑制剂组、阳性药柳氮磺胺吡啶组(SASP)及溃结灵高、中、低剂量组。IL-1 β 刺激细胞建立炎症模型, 收集细胞标本。采用实时荧光定量 PCR 方法检测 Caco-2 细胞 $\text{I}\kappa\text{B}\alpha$ 的基因表达, Western blot 方法检测其蛋白表达。结果 IL-1 β 刺激的 Caco-2 炎症细胞中, 模型组 $\text{I}\kappa\text{B}\alpha$ 基因表达明显低于正常对照组($P < 0.05$), 溃结灵中剂量组 $\text{I}\kappa\text{B}\alpha$ 基因表达明显高于模型组($P < 0.05$); IL-1 β 刺激的 Caco-2 细胞炎症中, 模型组 $\text{I}\kappa\text{B}\alpha$ 蛋白表达低于正常对照组, 但差异无统计学意义($P > 0.05$), 而溃结灵高剂量组 $\text{I}\kappa\text{B}\alpha$ 蛋白表达明显高于模型组($P < 0.01$)。结论 溃结灵对 IL-1 β 刺激的 Caco-2 炎症细胞 $\text{I}\kappa\text{B}\alpha$ 基因和蛋白的表达有上调作用, 其抗 UC 作用的机理可能为抑制 $\text{I}\kappa\text{B}\alpha$ 蛋白的降解, 最终抑制 NF- κ B 的活化, 减轻炎症反应。

关键词: 溃结灵; 溃疡性结肠炎; Caco-2 细胞; 核因子抑制蛋白- κ B; 白细胞介素-1 β

中图分类号: R285.5 文献标志码: A 文章编号: 1003-9783(2013)01-0014-04

doi: 10.3969/j.issn.1003-9783.2013.01.004

Effect of Kuijieling Decoction on $\text{I}\kappa\text{B}\alpha$ Gene and Protein Expression in Caco-2 Cell Model

CHAI Yuna, DU Qun, LI Yanwu, WU Yanli, GUO Zhen, CHEN Xu (Pi-Wei Institute, Guangzhou University of Chinese Medicine, Guangzhou 510405, China)

Abstract: **Objective** To observe the effect of *Kuijieling* Decoction(KD)on nuclear factor profilin kappa B($\text{I}\kappa\text{B}\alpha$) gene and protein expression in Caco-2 cell model induced by interleukin-1 β (IL-1 β), and to explore its possible mechanism. **Methods** Caco-2 cells in the growth density of 70%~80% were divided into seven groups: normal group, model group, proteasome inhibitor bortezomib group, positive drug salazosulfapyridine (SASP)group, and high-, middle- and low-dose HD groups. The cells were stimulated by IL-1 β for the establishment of cell model of inflammation. Real-time quantitative PCR and Western blotting technique were used to detect gene and protein expression of $\text{I}\kappa\text{B}\alpha$, respectively. **Results** The relative gene expression level of $\text{I}\kappa\text{B}\alpha$ in the model group was lower than that in the normal group ($P < 0.05$), and was significantly higher in the middle-dose KD group than that in the model group ($P < 0.05$). The relative protein expression level of $\text{I}\kappa\text{B}\alpha$ was lower in the model group than that in the normal group, but the difference was insignificant($P > 0.05$). High-dose KD group had significantly higher $\text{I}\kappa\text{B}\alpha$ protein expression level than the model group ($P < 0.01$). **Conclusion** KD has an effect on the up-regulation of the gene and protein expression levels of $\text{I}\kappa\text{B}\alpha$ in Caco-2 cell induced by IL-1 β , and its anti-ulcerative colitis mechanism is probably related to reducing the degradation of $\text{I}\kappa\text{B}\alpha$, and finally inhibiting the activation of NF- κ B and relieving inflammatory reaction.

Keywords: *Kuijieling* Decoction; Ulcerative Colitis; Caco-2 cells ; $\text{I}\kappa\text{B}\alpha$; Interleukin-1 β

收稿日期: 2012-08-01

作者简介: 柴玉娜, 女, 硕士研究生。研究方向: 中药药理。Email: 46007126@qq.com。通讯作者: 杜群, 研究员, 研究方向: 中西医结合中药药理。Email: duqun@gzucm.edu.cn。

基金项目:国家自然科学基金资助项目(30873421)。

溃疡性结肠炎(Ulcerative Colitis, UC)又称非特异性溃疡性结肠炎，是炎症性肠病(IBD)的一种。核因子-κB(nuclear factor-KappaB, NF-κB)是最重要的炎症调控因子，在UC炎症中发挥着关键作用，是多种抗炎症药物的靶标^[1-3]。前期研究表明溃结灵含药血清对TNF-α及IL-1β诱导的Caco-2炎症细胞模型细胞NF-κBp65DNA结合活性有下调的作用^[4]。为探讨其可能的作用机制，本实验用IL-1β刺激Caco-2细胞建立炎症模型采用实时定量PCR法观察溃结灵对NF-κB的抑制蛋白IκBα的基因表达，免疫印迹(Western blot)法观察溃结灵对IκBα的蛋白表达的影响。

1 材料与方法

1.1 动物 SD大鼠，SPF级，雄性，体质量180~220g，由广东省医学实验动物中心提供，合格证号：SCXK(粤)2008-0002。

1.2 药物 溃结灵复方，由救必应、白术、白芍、水蛭等组成，药材购于采芝林连锁药店，经广州中医药大学中药鉴定教研室喻良文老师鉴定，所购药材均符合《中华人民共和国药典标准》。按组方比例称取药材，常规方法制备水煎液。柳氮磺胺吡啶(SASP)，批号：20101210，上海三维制药有限公司，用作阳性对照药物，按照说明书大鼠取10倍成人用量，即给药剂量为0.5 g·kg⁻¹，用蒸馏水配成50 g·L⁻¹浓度的混悬液备用。

1.3 试剂及仪器 Caco-2细胞株，脾胃所李茹柳教授惠赠；胎牛血清(Charaterized FBS)，中国医学科学院生物医学工程研究所；DMEM培养基，Invitrogen Corporation，批号：1272041；白介素-1β，PEPRO TECH，批号：1202B95R1；Trizol，美国Invitrogen公司；两步法逆转录试剂盒，美国Invitrogen公司；PCR试剂盒，北京天为时代科技有限公司；IκBα的PCR引物，大连宝生物工程有限公司；GAPDH的PCR引物，上海生工生物工程技术服务有限公司；实时定量PCR试剂盒，宝生物工程大连有限公司，货号：DRR041A；Biovision mammalian cell Extraction kit试剂盒，美国Biovision公司，批号：50569；凯基BCA蛋白含量检测试剂盒，凯基生物公司，货号：KGBCA；164-5050Bio-RAD电泳仪，美国Bio-RAD公司；Western Breeze，invitrogen公司，批号：815192；β-actin一抗，Santa Cruz公司，批号：H1709；IκBα一抗，Cell Signaling公司，批号：

0912009；羊抗小鼠二抗，bioworld公司，批号：315466；增强型HRP-DAB底物显色试剂盒，TIAN-GEN公司，批号：J8303；GS-800Bio-RAD扫描仪，美国Bio-RAD公司。

1.4 实验方法

1.4.1 含药血清的制备 溃结灵水煎液，救必应、水蛭、白术、白芍、炙甘草等常规制备，水浴浓缩至2 g·L⁻¹备用。大鼠随机分为正常对照组、溃结灵组、柳氮磺胺吡啶(SASP)组。正常对照组按10 mL·kg⁻¹体质量灌胃蒸馏水，溃结灵组按10 mL·kg⁻¹体质量灌胃溃结灵水煎液(19.2 g·kg⁻¹)，SASP组按灌胃相同体积灌胃前述SASP水混悬液(0.5 g·kg⁻¹)，动物给药2 d，每天1次，然后禁食24 h，再给药2次，间隔2 h，末次给药后1 h腹主动脉取血(5 mL/只)，离心取血清，56℃灭活30 min，最后用0.22 μm的针头滤器过滤，置于-20℃备用。药物血清在需要时均以空白血清稀释。

1.4.2 Caco-2细胞培养 用含20%胎牛血清的DMEM培养液，将Caco-2细胞在37℃、5%CO₂培养箱条件下进行培养，3~4 d可基本融合。将分化良好的Caco-2细胞接种于6孔板上，接种密度为1×10⁷个/mL。

1.4.3 建立炎症细胞模型 Caco-2细胞培养、生长融合至70%~80%时换液，分为正常对照组(20%正常血清)，模型组(20%空白血清)，蛋白酶抑制剂组(20%空白血清，并于细胞因子刺激前1 h加入25 μg·mL⁻¹的硼替佐米)，溃结灵高、中、低剂量组(20%、10%、5%含药血清)，SASP组(10%含药血清)。培养24 h后，除正常对照组外，其余各组均加入10 ng·mL⁻¹的IL-1β刺激30 min。取出细胞，吸弃旧液，终止刺激。

1.4.4 PCR方法检测IκBα基因表达 取以上培养的炎症细胞，PBS冲洗一遍，以Trizol一步法提取总RNA，琼脂糖电泳检测RNA完整性，紫外分光光度法测定RNA的浓度及纯度。按试剂盒说明书，每份样品取1 μg总RNA逆转录合成cDNA。使用SYBR Green嵌合荧光法进行适时定量PCR检测，保存结果并分析。采用比较Ct值定量方法进行相对定量，公式为2^{-△△Ct}，其中△Ct=Ct_{目的基因}-Ct_{看家基因}，均值按2^{-△△Ct}计算与模型组比较原始模板相差程度，公式为2^{-△Ct}(给药组)/2^{-△Ct}(模型组)。

GAPDH(序列号：NM 002046.4)：引物正义5'

-AAGCTGAAGGT CGGAGTCAT -3'，反义 5'AAT -GAAGGGTCATTGATGG-3'；I κ B α （序列号：NM 020529.2）：引物正义 5' -CAGCAGCTCACCGAG-GAC-3'，反义 5'-AAAGCCAGGTCTCCCTTCAC-3'。PCR 反应条件：95 ℃预变性 3 min；95 ℃，10 s，55 ℃，10 s，72 ℃，30 s；39 个循环；95 ℃再延伸 10 s。

1.4.5 BCA 法蛋白定量测定 I κ B α 蛋白表达 按照 Biovision mammalian cell Extraction kit 试剂盒说明书操作，提取 Caco-2 细胞全细胞蛋白，并用 BCA 法测定蛋白含量。蛋白样本变性后经 SDS-PAGE 电泳（100 μg/泳道）、转膜及一抗 4 ℃孵育过夜（ β -actin 1 : 1000、I κ B α 1 : 1000），二抗摇床孵育 2 h（HRP 标记的羊抗小鼠二抗 1 : 2000）。DAB 显色后用凝胶成像仪对蛋白含量进行密度分析，以目的蛋白与 β -actin 的密度比值作为目的蛋白的相对含量，并进行组间比较。

1.5 统计学处理方法 应用 SPSS11.0 软件进行统计学处理，各组间均数比较采用单因素方差分析，以 $P < 0.05$ 为差异有统计学意义。

2 结果

2.1 溃结灵对 IL-1 β 刺激的 Caco-2 细胞 I κ B α mRNA 表达的影响 见表 1。模型组 I κ B α 基因表达明显低于正常对照组($P < 0.05$)，溃结灵中剂量组 I κ B α 基因表达明显高于模型组，差异均有统计学意义($P < 0.05$)。

表 1 溃结灵对 IL-1 β 刺激的 Caco-2 细胞 I κ B α mRNA 表达的影响($\bar{x} \pm s$)

Table 1 The effect of Kuijieling Decoction on the mRNA expression of I κ B α in Caco-2 cell induced by IL-1 β

组别	n	含药血清浓度/%	2 ^{-ΔCT}	2 ^{-ΔΔCT}
正常对照组	4	-	0.0417±0.0055*	1.41
模型组	4	-	0.0295±0.0063	
SASP 组	4	10	0.0420±0.0144	1.42
蛋白酶抑制剂组	4	25 μg·mL ⁻¹	0.0328±0.0102	1.11
溃结灵高剂量组	4	20	0.0386±0.0082	1.31
溃结灵中剂量组	4	10	0.0433±0.0032*	1.47
溃结灵低剂量组	4	5	0.0281±0.0036	0.95

注：与模型组比较，* $P < 0.05$ 。

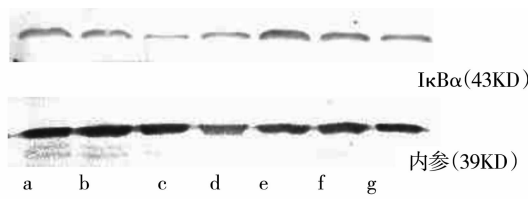
2.2 溃结灵对 IL-1 β 刺激的 Caco-2 细胞 I κ B α 蛋白表达的影响 见表 2 及图 1。模型组 I κ B α 蛋白表达低于正常对照组，但差异无统计学意义 ($P > 0.05$)。溃结灵高剂量组 I κ B α 蛋白表达明显高于模型组，差异有统计学意义($P < 0.01$)。

表 2 溃结灵对 IL-1 β 刺激的 Caco-2 细胞 I κ B α 蛋白表达的影响($\bar{x} \pm s$)

Table 2 The effect of Kuijieling Decoction on protein expression of I κ B α in Caco-2 cell induced by IL-1 β

组别	n	含药血清浓度/%	I κ B α 蛋白含量
正常对照组	4	-	0.66±0.11
模型组	4	-	0.54±0.07
SASP 组	4	10	0.56±0.04
蛋白酶抑制剂组	4	25 μg·mL ⁻¹	0.84±0.12**
溃结灵高剂量组	4	20	0.73±0.05**
溃结灵中剂量组	4	10	0.64±0.12
溃结灵低剂量组	4	5	0.57±0.06

注：与模型组比较：** $P < 0.01$ 。



a. 正常对照组 b. 蛋白酶抑制剂组 c. 模型组 d. SASP 组 e. 溃结灵高剂量组 f. 溃结灵中剂量组 g. 溃结灵低剂量组

图 1 IL-1 β 刺激的 I κ B α 蛋白表达条带图

Figure 1 Protein expression of I κ B α in Caco-2 cell induced by Interleukin-1 β

3 讨论

免疫功能异常是 UC 发病的关键因素之一，包括炎症递质、细胞因子及免疫调节等多个方面。许多与此密切相关的细胞因子基因启动子或增强子部位均有 KB 位点，NF- κ B 在核内与 κ B 序列结合，促进多种促炎性细胞因子，如白细胞介素(IL-1 β ，IL-2，IL-6，IL-8)、肿瘤坏死因子(TNF- α)等的基因转录。NF- κ B 是 UC 患者细胞因子释放的关键调控因素，在 UC 的发生和发展中起着十分重要的作用。有资料表明 UC 黏膜在 NF- κ B 活性增高的同时伴有 IL-1 β 、IL-6、TNF- α 等水平上升^[5-6]，IL-1 β 、TNF- α 可促进 NF- κ B 进一步活化，从而促使炎症的发生。当细胞受到 IL-1 β 、TNF- α 、氧自由基、抗原等刺激时，NF- κ B 抑制蛋白(I κ B α)迅速磷酸化，从二聚体中解离出来，NF- κ B 从胞浆转移到胞核激活基因转录，使细胞因子表达增强，参与炎症反应、免疫反应、细胞凋亡及肿瘤发生^[7]。

典型的炎症刺激因子如 TNF，IL-1 β 及 LPS 等通

常在数分钟内促使 I κ Bs(尤其是 I κ B α)发生降解。首先 I κ B α 在激酶复合物 IKK 的作用下被磷酸化，磷酸化发生在 I κ B α 分子中 Ser32 和 ser36 两个位点^[8-9]。磷酸化后的 I κ B α 被泛素连接酶复合物 SCF (SkP-l/Cul/F-box) 家族成员 E3RSI κ B/ β -TrCP 识别^[10]，从而促使 I κ B α 分子中的 Lys21 及 Lys22 泛素化^[11-12]，然后被 26 s 蛋白酶体识别并迅速降解。I κ B α 的降解使 NF- κ B 的核定位序列暴露出来，进入核内启动转录。

IL-1 家族成员包括 IL-1 α 和 IL-1 β ，在人体内，IL-1 的活性主要由 IL-1 β 调控。目前，IL-1 β 已被公认为与 UC 的发病密切相关，它由单核巨噬细胞产生，并能介导 UC 发病的细胞因子之一，可以产生对中性粒细胞等炎症细胞的趋化作用，吸引其进入肠道病变部位，从而引起一系列的肠道病变。有研究表明致炎因子 IL-1 β 在急性模型中持续参与炎症反应及结肠黏膜的损伤过程^[13-14]。我们前期研究表明，溃结灵含药血清对 IL-1 β 诱导的 Caco-2 炎症细胞模型细胞 NF- κ Bp65 DNA 结合活性有下调的作用，并且在刺激细胞后 30 min 作用最明显^[4]。因此，本实验采用 IL-1 β 刺激 Caco-2 细胞 30 min 建立细胞炎症模型。硼替佐米是一类活性很高的蛋白酶抑制剂，有报道蛋白酶抑制剂可抑制 I κ B 的降解，从而抑制 NF- κ B 启动的基因转录^[15]，因此，我们同时设置了蛋白酶体抑制剂组来作为阳性对照。

本实验结果显示，IL-1 β 诱导的 Caco-2 炎症细胞模型组的 I κ B α 基因表达及 I κ B α 蛋白表达低于正常组，提示 I κ B α 的合成减少或降解增加可导致细胞内 I κ B α 的减少，从而暴露 NF- κ B 的核定位信号，使 NF- κ B 由胞浆入核并与特定基因的 κ B 部位结合，激活靶基因转录，从而参与细胞分化、发育、凋亡、黏附及炎症反应。而溃结灵高剂量组 I κ B α 蛋白表达明显高于模型组以及中剂量组 I κ B α 基因表达明显高于模型组，蛋白酶体抑制剂组 I κ B α 蛋白表达也明显升高，表明溃结灵可能通过增加 I κ B α 合成或抑制细胞内 I κ B α 降解，从而抑制 NF- κ B 的过度活化，减轻炎症反应，提示溃结灵对 I κ B α 的干预作用可能是其治疗 UC 的作用机理之一。

参考文献：

- [1] Andresen L, Jorgensen VL, Perner A, et al. Activation of nuclear factor kappaB in colonic mucosa from patients with collagenous and ulcerative colitis[J]. Gut, 2005, 54: 503-509.
- [2] Kaltschmidt C, Kaltschmidt B, Neumann H, et al. Constitutive NF-kappa B activity in neurons[J]. Mol Cell Biol, 1994, 14: 3981-3992.
- [3] Schreiber S, Nikolaus S, Hampe J. Activation of nuclear factor kappa B inflammatory bowel disease[J]. Gut, 1998, 42: 477-484.
- [4] 唐立海, 纪艳艳, 杜群, 等. 溃结灵对 Caco-2 炎症细胞模型核因子- κ B p65 DNA 结合活性的影响[J]. 广州中医药大学学报, 2012, 29(3): 283-286.
- [5] Neurath MF, Fuss I. Cytokine gene transcription by NF- κ B family members in patients with inflammatory bowel disease[J]. Ann NY Acad Sci, 1998, 859: 149-159.
- [6] Chinetti G, Fruchart JC, Staels B. Peroxisome proliferators activated receptors(PPARs): nuclear receptors at the crossroads between lipid metabolism and inflammation[J]. Inflamm Res, 2000, 49(10): 497-505.
- [7] Verma IM, Scevenson JK, Schwarz EM, et al. Rel/NF- κ B/I kappa B family: intimate tales of association and dissociation[J]. Genes Dev, 1995, 9(22): 2723-2735.
- [8] DiDonato JA, Mercurio F, Rosette C, et al. Mapping of the inducible I κ B phosphorylation sites that signal its ubiquitination and degradation[J]. Mol Cell Bion, 1996, 16: 1295-1304.
- [9] Traenckner EB, Pahl HL, Henkel T. Phosphorylation of human I κ B on serines 32 and 36 controls I κ B proteolysis and NF- κ B activation in response to diverse stimuli[J]. EMBO J, 1995, 14: 2876-2883.
- [10] Yaron A, Hatzubai A, Davis M, et al. Identification of the receptor component of the I κ B-ubiquitin ligase[J]. Nature, 1998, 396: 590-594.
- [11] Chen Z, Hagler J, Palombella VJ, et al. Signal-induced site-specific phosphorylation targets I κ B to the ubiquitin proteasome pathway[J]. Genes Dev, 1995, 9: 1586-1597.
- [12] Baldi L, Brown K, Franzoso G, et al. Critical role for lysines 21 and 22 in signal-induced, ubiquitin-mediated proteolysis of I κ B[J]. J Biol Chem, 1996, 271: 376-379.
- [13] 张凯, 邓子辉, 薛辉, 等. 溃疡性结肠炎患者血清中 Leptin 与炎性因子 TNF- α 、IL-1 β 、IL-6 的表达水平及意义[J]. 军医进修学院学报, 2011, 32(4): 386-388.
- [14] 曹秀红, 张学彦, 张晓娜. 白介素在溃疡性结肠炎发病机制中的研究进展[J]. 世界华人消化杂志, 2011, 19(30): 3143-3148.
- [15] 高伟艳, 申凤乾, 崔瑞雪, 等. 蛋白酶体抑制剂对大肠癌细胞增殖和凋亡的影响[J]. 中国实用医刊, 2009, 36(9): 48.

(编辑: 邓响潮)